Vol. A29, No. 1 January, 2002

文章编号: 0258-7025(2002)01-0065-04

π共轭聚吡咯衍生物非线性响应时间的测量

1 2 1 3 3 姚保利,任立勇,侯 洵,汪敏强,易文辉

(1中国科学院西安光学精密机械研究所瞬态光学技术国家重点实验室,陕西 西安 710068;

提要 合成一种新型 π 共轭聚吡咯衍生物——聚吡咯- $\{2,5$ -二[(对硝基)苯甲烯] $\}$ (PPNB),制备了该高分子的 N-甲基-2-吡咯烷酮(NMP)溶液和聚乙烯醇(PVA)复合薄膜。用 532 nm,8 ns 脉冲激光作抽运光源,氦氖激光(632.8 nm,CW)为探测光源,测量了该高分子的非线性光学响应过程,测得 PPNB/NMP 溶液和 PPNB/PVA 薄膜的激光诱导折射率的建立时间分别为 4 μ s 和 5 μ s,恢复时间分别为 30 ms 和 5 ms。引起这种非线性效应的机制可能主要是热光非线性效应。

关键词 聚吡咯-{2,5-二[(对硝基)苯甲烯]},非线性光学响应时间,抽运-探测

中图分类号 O 437 文献标识码 A

Measurement of Nonlinear Optical Response Time of a π -conjugated Polypyrrole Derivative

YAO Bao-li¹, REN Li-yong², HOU Xun¹, WANG Min-qiang³, YI Wen-hui³
(¹State Key Laboratory of Transient Optics Technology, Xi' an Institute of
Optics and Precision Mechanics, The Chinese Academy of Sciences, Xi' an 710068;

²Department of Physics, Northwest University, Xi' an 710069; ³State Laboratory of
Fine Functional Electronic Materials and Devices, Xi' an Jiaotong University, Xi' an 710049)

Abstract A novel π -conjugated polypyrrole derivative—poly $\{(pyrrole^{-2}, 5\text{-diyl}) [p\text{-nitrobenylidene}]\}$ (PPNB) is synthesized. Its solution in N-Methyl-2-pyrrolidone (NMP) and its thin film combined with polyvinyl alcohol (PVA) are respectively prepared. With 532 nm, 8 ns laser pulse as pumping beam and He-Ne laser beam (632.8 nm, CW) as probing light, the nonlinear optical response times of the PPNB solution and film are measured. The building-up times of the laser induced refractive index change of the PPNB/NMP solution and the PPNB/PVA film are measured to be 4 μ s and 5 μ s, respectively. Their recovering times are 30 ms and 5 ms, respectively. This optical nonlinear phenomenon may be mainly dominated by the thermo-optical nonlinear effect.

Key words poly{(pyrrole-2,5-diyl)[p-nitrobenylidene]}, nonlinear optical response time, pump-probe

1 引 言

具有大 π 共轭结构的高分子,由于含有易极化的 π 电子,通常显示出常规高分子所不具有的巨非线性光学性质(三阶非线性极化率可以达到 10^{-9} esu 以上)。由于可以通过分子设计修饰主链或侧

链的结构来改变或增强聚合物的某些性能,因而 π 共轭高分子聚合物在高速光开关、光调制器、光存储等方面具有重要应用价值 $^{[1^{\sim 4}]}$ 。1989 年,S. A. Jenkhe $^{[5]}$ 报道了一种新型含有交替芳香和醌式链段的大 π 共轭高分子——聚噻吩甲烯及其衍生物。通过分子设计,在侧链上引入强拉-推电子基团,可

收稿日期:2000-11-13; 收到修改稿日期:2001-01-02

基金项目:瞬态光学技术国家重点实验室基金与中国科学院院长基金资助项目。

作者简介:姚保利(1968—),男,中国科学院西安光学精密机械研究所研究员,博士,主要从事激光与光电子研究。E-maity国外的Mics. 你就您会从WWW.cnki.net

² 西北大学物理系, 西安 710069; ³ 西安交通大学精细功能电子材料与器件国家专业实验室, 西安 710049)

以得到具有大的三阶非线性的聚合物材料,其三阶 非线性极化率比聚噻吩 $(4 \times 10^{-11} \text{ esu})$ 高出 $2 \sim 4$ 个 数量级。本研究小组在S. A. Jenkhe 研究的启发 下,陆续合成了一些以开环卟吩为结构单元的新型 大π共轭高分子——聚吡咯甲烯及其衍生物[6]。 该类聚合物具有良好的耐热性能和在极性有机溶剂 中的溶解性能,容易配制成溶液或薄膜。采用 Z 扫 描实验方法测量其非线性折射率 $n_2 = 1.47 \times 10^{-5}$ esu, 三阶非线性极化率 $\chi^{(3)} = 1.44 \times 10^{-8} esu^{[7]}$ 实 验发现当一束较强的抽运激光与一束较弱的探测激 光相交通过该非线性介质时,由于抽运光在非线性 介质中诱导出相位孔,会对探测光产生衍射,改变探 测光斑的横向分布模式[8]。本文利用脉冲激光 (532 nm, 8 ns)作为抽运光源, 氦氖激光(632.8 nm, CW)为探测光源,分别测量了聚吡咯- $\{2,5-$ 二[(对 硝基)苯甲烯][}](PPNB)溶液及薄膜的非线性光学 响应过程。测得 PPNB/NMP 溶液和 PPNB/PVA 薄膜的激光诱导折射率的建立时间分别为 4 Ps 和 5 $\mu_{\rm s}$,恢复时间分别为 30 ms 和 5 ms。

2 材料与方法

PPNB 的合成方法简述如下^[6]: 在烧杯中依次加入二氯甲烷、吡咯和对硝基苯甲醛,吡咯单体浓度为0.4 mol/L, 充分搅拌,滴加浓盐酸,控制反应体系酸度为1 mol/L。 充分搅拌 12 h,静置过夜,杯中出现大量棕色坚韧状沉淀,过滤并用去离子水和丙酮洗涤至滤液无色,置于 70° 真空烘箱中干燥。PPNB 的分子式如图 1 所示。

$$\begin{array}{c|c} & & & \\ & & \\ & & \\ & & \\ & & \\ & & \\ & & \\ & & \\ & & \\ & & \\ & & \\ & & \\ & & \\ & & \\ & & \\ & & \\ & & \\ & & \\ & & \\ & & \\ & & \\ & & \\ & & \\ & & \\ & & \\ & & \\ & & \\ & & \\ & & \\ & & \\ & & \\ & & \\ & & \\ & & \\ & & \\ & & \\ & & \\ & & \\ & & \\ & & \\ & & \\ & & \\ & & \\ & & \\ & & \\ & & \\ & & \\ & & \\ & & \\ & & \\ & & \\ & & \\ & & \\ & & \\ & & \\ & & \\ & & \\ & & \\ & & \\ & & \\ & & \\ & & \\ & & \\ & & \\ & & \\ & & \\ & & \\ & & \\ & & \\ & & \\ & & \\ & & \\ & & \\ & & \\ & & \\ & & \\ & & \\ & & \\ & & \\ & & \\ & & \\ & & \\ & & \\ & & \\ & & \\ & & \\ & & \\ & & \\ & & \\ & & \\ & & \\ & & \\ & & \\ & & \\ & & \\ & & \\ & & \\ & & \\ & & \\ & & \\ & & \\ & & \\ & & \\ & & \\ & & \\ & & \\ & & \\ & & \\ & & \\ & & \\ & & \\ & & \\ & & \\ & & \\ & & \\ & & \\ & & \\ & & \\ & & \\ & & \\ & & \\ & & \\ & & \\ & & \\ & & \\ & & \\ & & \\ & & \\ & & \\ & & \\ & & \\ & & \\ & & \\ & & \\ & & \\ & & \\ & & \\ & & \\ & & \\ & & \\ & & \\ & & \\ & & \\ & & \\ & & \\ & & \\ & & \\ & & \\ & & \\ & & \\ & & \\ & & \\ & & \\ & & \\ & & \\ & & \\ & & \\ & & \\ & & \\ & & \\ & & \\ & & \\ & & \\ & & \\ & & \\ & & \\ & & \\ & & \\ & & \\ & & \\ & & \\ & & \\ & & \\ & & \\ & & \\ & & \\ & & \\ & & \\ & & \\ & & \\ & & \\ & & \\ & & \\ & & \\ & & \\ & & \\ & & \\ & & \\ & & \\ & & \\ & & \\ & & \\ & & \\ & & \\ & & \\ & & \\ & & \\ & & \\ & & \\ & & \\ & & \\ & & \\ & & \\ & & \\ & & \\ & & \\ & & \\ & & \\ & & \\ & & \\ & & \\ & & \\ & & \\ & & \\ & & \\ & & \\ & & \\ & & \\ & & \\ & & \\ & & \\ & & \\ & & \\ & & \\ & & \\ & & \\ & & \\ & & \\ & & \\ & & \\ & & \\ & & \\ & & \\ & & \\ & & \\ & & \\ & & \\ & & \\ & & \\ & & \\ & & \\ & & \\ & & \\ & & \\ & & \\ & & \\ & & \\ & & \\ & & \\ & & \\ & & \\ & & \\ & & \\ & & \\ & & \\ & & \\ & & \\ & & \\ & & \\ & & \\ & & \\ & & \\ & & \\ & & \\ & & \\ & & \\ & & \\ & & \\ & & \\ & & \\ & & \\ & & \\ & & \\ & & \\ & & \\ & & \\ & & \\ & & \\ & & \\ & & \\ & & \\ & & \\ & & \\ & & \\ & & \\ & & \\ & & \\ & & \\ & & \\ & & \\ & & \\ & & \\ & & \\ & & \\ & & \\ & & \\ & & \\ & & \\ & & \\ & & \\ & & \\ & & \\ & & \\ & & \\ & & \\ & & \\ & & \\ & & \\ & & \\ & & \\ & & \\ & & \\ & & \\ & & \\ & & \\ & & \\ & & \\ & & \\ & & \\ & & \\ & & \\ & & \\ & & \\ & & \\ & & \\ & & \\ & & \\ & & \\ & & \\ & & \\ & & \\ & & \\ & & \\ & & \\ & & \\ & & \\ & & \\ & & \\ & & \\ &$$

图 1 聚吡咯-{2,5-二[(对硝基)苯甲烯]} 分子式 Fig.1 Formula of poly {(pyrrole-2,5-diyl)[p-nitrobenylidene]}

实验样品为PPNB的溶液和薄膜两种形式。溶剂是N-甲基-2-吡咯烷酮(NMP),溶液样品置于1mm厚的玻璃比色皿中。成膜材料为聚乙烯醇(PLA)是介薄膜来在两片载玻片之间,薄膜厚度约几十微米。在日本 Shimadzu MPC-

3100 型分光光度计上分别测量了溶液和薄膜的吸收光谱,如图 2 所示。在 532 nm 和 632.8 nm 处的光密度 (O·D·),溶液为 0.161 和 0.057,薄膜为 0.457 和 0.268。还单独测量了 NMP 纯溶液和 PVA 纯薄膜的吸收光谱,NMP 纯溶液在 $400\sim1100$ nm 波段基本无吸收,PVA 薄膜在该波段的吸收光谱与PPNB/PVA 复合薄膜相似,但其 O·D·变化范围为 $0.1\sim0.45$ 。可以确定,图 2 中 solution 曲线基本就是 PPNB 的吸收光谱, film 曲线是 PPNB 与PVA 的混合谱。

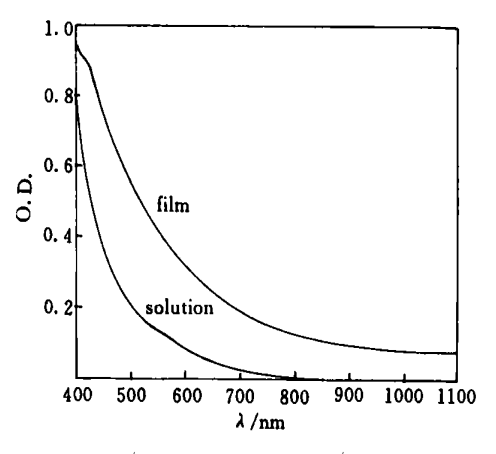


图 2 PPNB/NMP 溶液和 PPNB/PVA 薄膜的吸收光谱
Fig. 2 Optical absorption spectra of the PPNB/NMP
solution and the PPNB/PVA film

实验装置如图 3 所示。抽运光源为调 Q 倍频 Nd: YAG 激光器 (美国 Spectra Physics 公司生产,GCR-170 型),输出波长 532 nm,脉冲宽度 8 ns,基模高斯光束,最大输出能量 850 mJ。 经衰减片衰减后通过一个焦距 150 mm 的透镜会聚到样品上。探测光为氦氖激光器输出的 632.8 nm 连续光,功率约 1 mW,与抽运光成约 10° 夹角的方向通过样品被激发区域。光电探测器 D_1 (PIN 光电二极管,上升时间 100 ps)和 D_2 (雪崩光电二极管,上升时间 10 ns)分别用来接收透过样品后的抽运光和探测光,两路信号分别输入到 500 MHz 数字示波器 (美国 Tektronix 公司生产,TDS-724G 型)的通道 1 和通道 2,用 D_1 信号触发示波器扫描,通道 2 显示信号波形。实验采用多次平均方式以提高信噪比,每条测量曲线由 10 个抽运脉冲累加平均得到。

3 结果与讨论

当无抽运光作用时,弱探测光通过样品后被部分吸收,在探测器接收面上的光强分布为典型的高

斯分布,如图 4(a)所示。当强抽运光脉冲作用于 样品时,由于样品具有较强的光吸收和三阶非线性 光学效应,会在抽运光作用的介质区域产生光诱导 折射率分布。

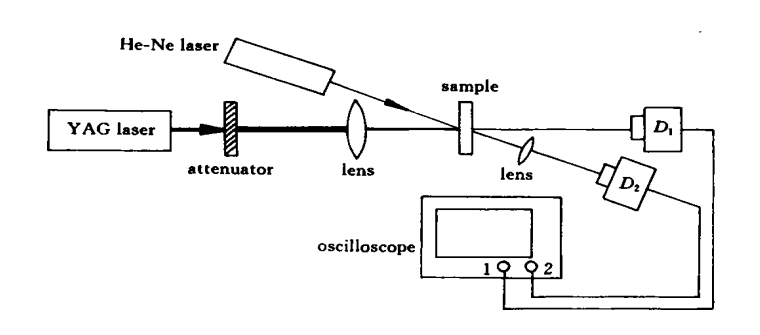


图 3 抽运-探测实验装置图

Fig. 3 Pump-probe experimental setup

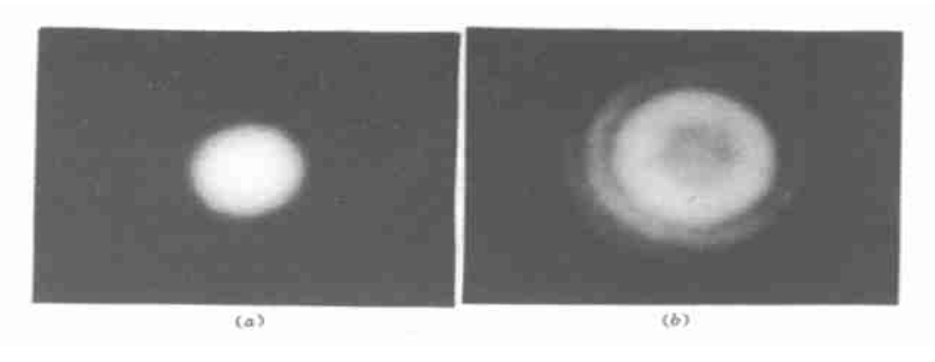


图 4 探测光通过样品后在探测器接收面上的光强分布 (a) 无抽运光;(b) 有抽运光作用于样品

Fig. 4 Light intensity distributions of the probing beam on the plane of detector (a) without pump beam; (b) with pump beam

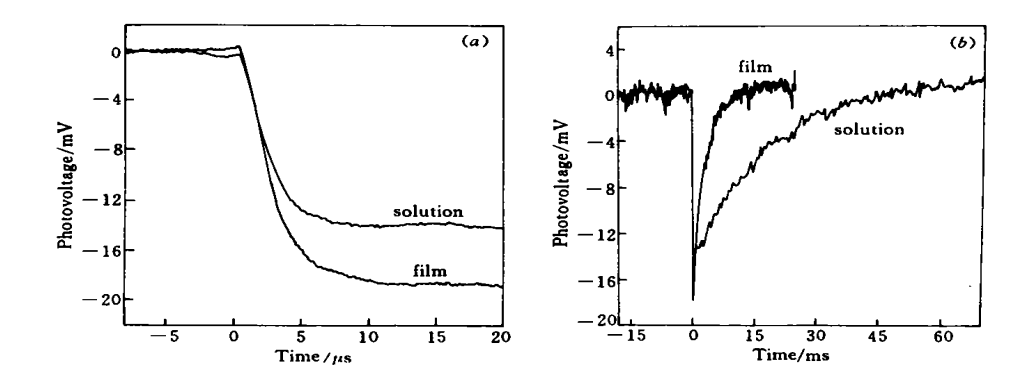


图 5 PPNB/NMP 溶液和 PPNB/PVA 薄膜的非线性光学响应时间测量 (a) 激光诱导附加折射率建立过程;(b) 附加折射率恢复过程

Fig. 5 Measurements of nonlinear optical response time of the PPNB/NMP solution and the PPNB/PVA film (a) generation step of the laser induced refractive index change; (b) recovery process of the laser induced refractive index change

附加折射率的大小与光强成正比,对高斯光束,介质产生的附加折射率分布为中心强,边缘弱的高斯型分布。由于这种附加折射率分布在很小的尺度上形成(抽运光焦点尺寸约十几个微米),它对探测

光而言相当于产生了一个微小的相位孔,根据衍射理论,这个相位孔会对探测光产生衍射,影响它在探测器接收面上的光强分布。文献[8]从理论上分析了产生这种现象的原因。图 4 (b) 是在有抽运光作

用时,探测光出射样品后在探测器接收面上的光强分布。由于衍射,其中心强度由最亮变为最暗。

中

用光电探测器测量光斑中心由亮变暗,再由暗恢复亮的时间变化过程,由此反映样品对抽运光脉冲的非线性响应特性。图 5 (a) 是抽运激光脉冲激发样品的瞬间, D_2 探测器测量到的探测光信号随时间的变化情况。由于抽运激光脉冲宽度足够短(8 ns),因此该曲线反映出样品光诱导附加折射率建立的时间。这里用光电压的下降时间(满幅变化的 $10\%\sim90\%$ 两处的时间差)来表示样品的非线性响应时间。测量出 PPNB/NMP 溶液的响应时间为 4 $\mu_{\rm S}$,PPNB/PVA 薄膜的响应时间为 5 $\mu_{\rm S}$ 。图 5 (b)测量的是抽运光脉冲激发后,样品的恢复过程。用光电压的上升时间(满幅变化的 $10\%\sim90\%$ 两处的时间差)来表示。PPNB/NMP 溶液的恢复时间为 30 ms,PPNB/PVA 薄膜的恢复时间为 5 ms。

从测量结果可以看出,激光诱导非线性介质附加折射率的建立过程比较快,大约几个微秒,而介质折射率的恢复过程却比较慢,需要几个毫秒到几十毫秒。介质的形式(溶液或薄膜)和参数(薄厚、光密度等)对附加折射率的建立时间影响不大,而对折射率的恢复时间影响较大。因为光克尔效应(分子取向栅)一般发生在皮秒量级(弱吸收样品中的主要过程);电致伸缩引起的非线性折射率变化在纳秒量级;而热效应(热栅)引起的非线性时间过程大约在微秒到毫秒量级,而且与介质的环境材料有很大关系[9],因此判断对本实验样品引起这种非线性效应

的机制,可能主要是热光非线性效应。

参考文献

- 1 R. Quintero-Torres, M. Thakur. Picosecond all-optical switching in a Fabry-Perot cavity containing polydiacetylene [J]. Appl. Phys. Lett., 1995, 66(11):1310~1312
- 2 S. S. Lee, S. Y. Shin. Polymeric digital optical switch incorporating linear branch with modified coupling region [J]. Electr. Lett., 1999, 35(15):1245~1246
- 3 D. Chen, H. R. Fetterman, A. Chen et al.. Demonstration of 110 GHz electro-optic polymer modulators [J]. Appl. Phys. Lett., 1997, 70(25):3335∼3337
- 4 C. Wang, H. Fei, J. Xia et al. Optically controlled image storage in azobenzene liquid⁻crystalline polymer films [J]. Appl. Phys. B, 1999, 68(6):1117~1120
- 5 S. A. Jenekhe, S. K. Lo et al. Third-order nonlinear optical properties of a soluble conjugated polythiophene derivative [J]. Appl. Phys. Lett., 1989, 54(25):2524 ~2526
- 6 Yi Wenhui, Yan Wei, Wang Lili et al·· Novel π-conjugate polymer—Poly {(pyrrole-2, 5-diyl) [p-nitrobenylidene]} [J]. Journal of Xi'an Jiaotong University (西安交通大学学报), 2000, 34(3):5~8 (in Chinese)
- 7 Yi Wenhui, Yao Xi, Wang Minqiang et al.. Nonlinear optical properties of novel polypyrrole derivative [J]. Journal of Xi' an Jiaotong University (西安交通大学学报), 2000, **34**(10):15~18 (in Chinese)
- 8 Ren Li-yong, Yao Bao-li, Hou Xun et al.. Experiment and theory on diffraction from laser-induced phase-hole in polymer film [J]. Acta Physica Sinica (物理学报), 2000, 49(10):1973~1977 (in Chinese)
- 9 T. Y. Chang. Fast self-induced refractive index changes in optical media: a survey [J]. Opt. Eng., 1981, 20(2): 220~232